苗慧灵.利用卫星红外多光谱监测沙尘的方法[J].陕西气象,2014(3):1-4.

文章编号: 1006-4354 (2014) 03-0001-04

# 利用卫星红外多光谱监测沙尘的方法

# 苗慧灵

(北京市气象局, 北京 100089)

摘 要:利用沙尘与水云、冰云、下垫面对红外辐射的散射、吸收差异,研究了一种卫星监测沙尘方法。将  $T_{BD8.5-11}$  (8.5  $\mu$ m 减 11  $\mu$ m 亮温差)、 $T_{BD11-12}$  (11  $\mu$ m 减 12  $\mu$ m 亮温差)、 $T_{11}$  (11  $\mu$ m 亮温)转换成 3 基色,经伽玛校正合成彩色图,用于沙尘监测。在实际应用中的结果表明:此方法对弱沙尘敏感,能详细反映沙尘强弱、位置高低以及沙地和云等多种信息,明显优于常用方法,对于研究沙尘对云的影响具有重要意义。同时,该方法能够发挥卫星日夜不间断探测的优点,适合连续跟踪监测。

关键词:沙尘暴;多光谱合成;卫星遥感

中图分类号: P407

文献标识码: A

我国北方沙尘多发,对环境、生态、气候等产生影响,成为当今普遍关注的热点问题[1]。国内外沙尘研究主要为沙尘监测、形成机制、输送、预测、特性及其气候效应等,观测是研究基础,由于地面测站有限,卫星能弥补测站不足的缺陷。卫星监测沙尘主要有两种技术体系,即常用可见光加近红外(VIR)和热红外(TIR)技术[2]。早在 1974 年 Shenk 等[3] 提出可见光加红外方法;Ackeman[4] 曾用中红外( $3.7~\mu$ m)和红外( $11~\mu$ m)亮温差监测沙尘暴;郭铌等[5] 利用可见光( $0.45~\mu$ m)和近红外( $2.1~\mu$ m)、红外( $3.7~\mu$ m, $8.5~\mu$ m)亮温差建立了沙尘暴指数;Zhang等[6]用  $T_{BD11-12}$ ( $11~\mu$ m 减  $12~\mu$ m 亮温差)、 $T_{BD8.5-11}$ ( $8.5~\mu$ m 减  $11~\mu$ m 亮温差)识别沙尘,分级显示沙尘强弱、冰云、水云等。

一方面,对于沙尘  $T_{\text{BD11-12}}$  为负值,云和地表  $T_{\text{BD11-12}}$  为正值(或零),因此,用  $T_{\text{BD11-12}}$  很容易识别沙尘。另一方面,由于水汽对 8.5  $\mu$ m 吸收较强,在无沙(或弱沙)时, $T_{8.5}$  (8.5  $\mu$ m 亮温) $< T_{11}$  (11  $\mu$ m 亮温), $T_{\text{BD8.5-11}}$  为负;当强沙尘时, $T_{\text{BD8.5-11}}$  为正。因此,可用  $T_{\text{BD8.5-11}}$ 

标识沙尘的强弱。利用 MODIS 红外(8.5  $\mu$ m、11  $\mu$ m、12  $\mu$ m)资料,将  $T_{BD8.5-11}$ 、 $T_{BD11-12}$ 、 $T_{11}$ 转换为 3 基色,经伽玛校正合成彩色图监测沙尘,方法适用日夜连续监测。利用红外多光谱监测沙尘,还可获得云和地表详细信息,为研究沙尘对云的影响提供更丰富的信息,对环境影响研究具有重要意义。

#### 1 监测沙尘原理与方法

#### 1.1 沙尘复折射指数特性

复折射指数实部和虚部反映了气溶胶的散射、吸收能力。与水、冰相比,沙尘在  $11~\mu m$  波段的复折射指数实部和虚部都大于  $12~\mu m$  的,表明沙尘散射、吸收强,透过率小,更多  $12~\mu m$  波段的能量穿过大气到达卫星, $T_{BD11-12}$  为负;相反,冰云、水云、地表  $T_{BD11-12}$  为正。

虽然沙尘比冰云、水云对  $11~\mu m$  的散射、吸收强,但是水汽对  $8.5~\mu m$  (靠近水汽吸收波段) 吸收更强。因此,当沙尘较弱时, $11~\mu m$  散射、吸收不足以抵消  $8.5~\mu m$  的水汽吸收时, $8.5~\mu m$  透过率小于  $11~\mu m$ , $T_{BD8.5-11}$  为负;当沙尘增强或有卷云时, $11~\mu m$  散射吸收增强,且大于  $8.5~\mu m$ , $T_{BD8.5-11}$  为

收稿日期: 2014-03-28

作者简介: 苗慧灵(1962-), 女,河北肃宁人,汉族,助工,从事应用气象工作。

正。张鹏等<sup>[2]</sup> 指出,强沙尘的  $T_{BD8.5-11}$  大于零; Ackerman 等<sup>[7]</sup> 观测到卷云的 8.5  $\mu$ m 亮温比 11  $\mu$ m 的高。晴空无沙尘时  $T_{BD8.5-11}$  为较大负值。因此,  $T_{BD8.5-11}$  反映了沙尘强弱。

#### 1.2 MODIS 红外多光谱监测沙尘方法

利用  $T_{BD11-12}$  标识沙尘, $T_{BD8.5-11}$  标识沙尘的强弱, $T_{11}$ 标识目标物温度(高度),表 1 给出MODIS 识别沙尘阈值。将  $T_{BD11-12}$  反转值赋予红色(R), $T_{BD8.5-11}$  反转值赋予绿色(G), $T_{11}$  值赋予蓝色(B),合成红外多光谱彩色图,经测试确定  $T_{BD11-12}$  反转值取值范围为 $-4\sim3$  K, $T_{BD8.5-11}$  反转值取值范围为 $-2\sim10$  K, $T_{11}$  为  $261\sim289$  K。彩色图中各种颜色物理意义为:红色和紫红色为沙尘,红色表示沙尘温度低(高度高),紫红色表示沙尘温度高(高度低),弱沙尘为浅紫色,颜色越深沙尘越强,反之亦然;水云为土黄色,冰云为暗红色,沙地为青白色。因此,用此方法得到沙尘监测图,图中的沙尘、水云、冰云、沙地色差大,易于分辨,将沙尘显示为红色和紫红色还能起到警示作用。

表 1 沙尘阈值

| 阈值   | 说明    |
|--|-------|
| $T_{ m BD11-12}{<}{-}$ 0.5 К $\pm$ $T_{ m BD8.5-11}{>}{-}$ 1 К         | 强沙尘   |
| $T_{ m BD11-12}{<}{-}$ 0.5 К $\pm$ $T_{ m BD8.5-11}{\leqslant}{-}$ 1 К | 弱沙尘   |
| $T_{{ m BD11-12}}{>}$ 0.5 К <u>Н</u> $T_{{ m BD8.5-11}}{>}$ 0 К        | 卷云    |
| $T_{\rm BD11-12}{>}0~{\rm K}$ Д. $T_{\rm BD8.5-11}{<}0~{\rm K}$        | 密实冰云  |
|  | 水云、地表 |
| 其它   | 不确定区  |
|  |       |

#### 2 个例应用

#### 2.1 白天沙尘监测与传统方法比较

选取 2008 年 5 月 2 日沙尘过程,分别采用该方法和 2 种常用方法合成卫星图像,对比分析监测沙尘效果。当天 Aqua 卫星过境为 13:15 (北京时间,以下均同),用  $T_{BD11-12}$ 、 $T_{BD8.5-11}$ 、 $T_{11}$ 合成得到图 1a。由图 1a 可见,强沙尘位于图中央呈红色和紫红色,高度不同,边缘弱沙尘呈浅紫色,周围沙地呈青白色,图左上角和图右侧存在呈土黄色的水云和呈暗红色的冰云,有些水

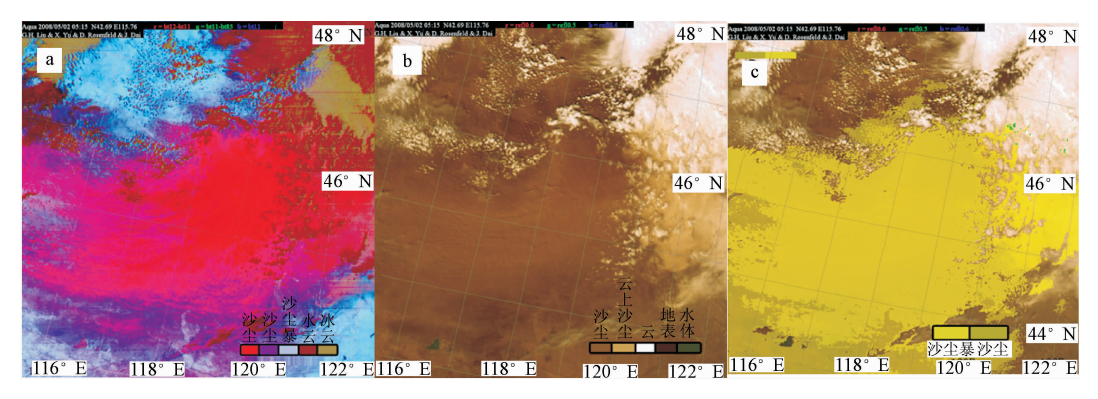
云位于冰云之上,有些冰云位于沙尘之上,有些位于沙尘边缘,能清晰看出云与沙尘界限及混合。用该方法监测沙尘,能详细反映沙尘强弱、高低,以及沙地和云等多种信息,对于研究沙尘对云的影响具有重要意义。

一种常用卫星监测沙尘方法是用 3 个可见光 (0.645 µm, 0.555 µm, 0.469 µm) 反射率合成 彩色图 (图 1b),图中栗黄色为沙尘,白色为云,当云与沙尘混合时云区发黄,灰黑色为地表。图中央呈栗黄色的强沙尘和图上部白色云区清晰可见,右侧发黄云区表示云与沙尘相互混合,但边缘的弱沙尘和沙地辨识较困难。与图 1a 相比,虽然强沙尘和云易于分辨,但对沙尘强弱和高度、云的相态不敏感,不易识别弱沙尘,区分沙尘与沙地困难,因为沙地与栗黄色相近。

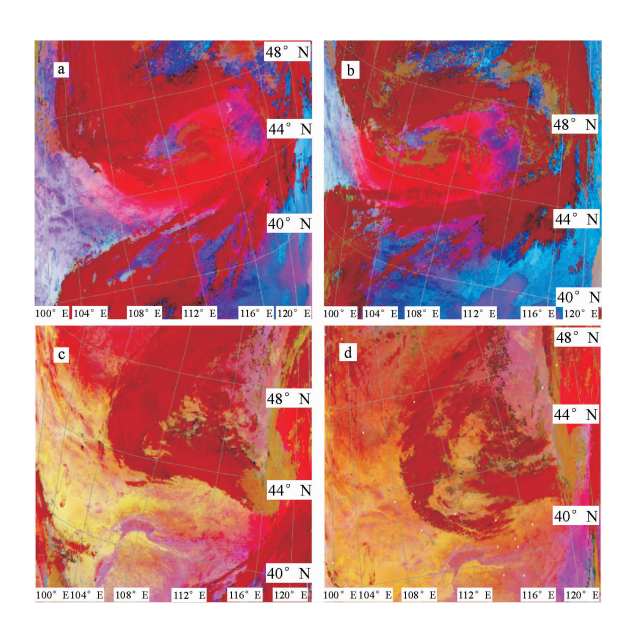
另一种常用方法是用表 1 的阈值,设定强沙尘为黄色,弱沙尘为暗黄色,在图 1b 上半透明叠加得到图 1c。图中黄色为强沙尘,暗黄色为弱沙尘,栗黄色为沙源地。与图 1b 相比,通过加大强、弱沙尘和沙地色差,可视效果得到改善,但在沙尘与云互相混合区域,易错判成沙尘(见图 1c 右侧)而忽略云信息。与图 1a 相比,在反映云信息(水云、冰云)、云与沙尘相互作用、沙尘高度等方面效果欠佳。综上所述,新方法可视能力强,在许多方面优于常用可见光方法,特别是在与云互相作用区域优势明显。

#### 2.2 双星日夜连续沙尘监测

2011年5月11日,受锋面气旋影响,蒙古国中东部、我国内蒙古地区出现强沙尘,局部沙尘暴。卫星监测表明,沙尘源自蒙古国中部,进入我国逐渐东移南下,经历先加强后减弱过程。图 2a 为 Terra 卫星(过境时间 11:37)多光谱图,图 2b 为 Aqua 卫星(过境时间 13:17)多光谱合成图,比 Terra 晚 100 min。由图可知,在 100 min 内,红色沙尘区面积没有太大变化,但图 2b 红色增强表明沙尘强度增加,沙尘区位置与图 2a 相似,南下了1个纬距,略为东移。



(a)  $T_{\text{BDI}1-12}$ 、 $T_{\text{BD8}.5-11}$  、 $T_{11}$ 合成图; (b) 0.6  $\mu$ m、0.5  $\mu$ m、0.4  $\mu$ m 反射率合成图; (c) 在图 b上叠加沙尘强弱信息图 1 2008-05-02T13; 15 Aqua 卫星监测沙尘的 3 种方法合成图



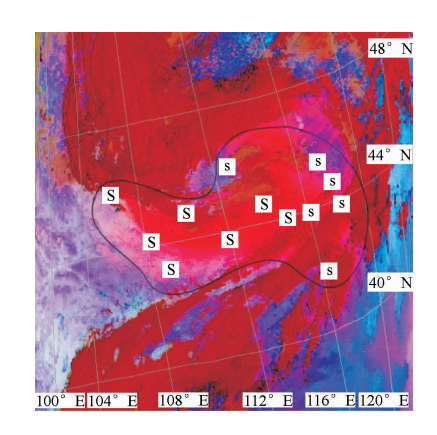
(a) 11 目 11: 37TERRA, (b) 11 目 13: 17AQUA, (c) 11 目 22: 40TERRA, (d) 12 目 02: 55AQUA 图 2 2011-05-11—12EOS/MODIS 卫星 4 次过境 红外多光谱合成图

图 2c 和 2d 为卫星夜间监测沙尘多光谱合成图,夜间各目标物颜色物理意义与白天一致(仅沙地因夜间温度低呈金黄色)。与白天相比,夜间红色沙尘区面积缩小强度减弱,至12日凌晨,116°E以西区域沙尘基本结束,仅东部存在沙尘,东移了4个经距。利用 MODIS 卫星实现日夜不间断沙尘跟踪监测(每天4次),有利于了解沙尘范围、强度及演变,为研究沙尘暴和做好灾害防御提供监测基础。

#### 2.3 地面监测验证

2011年5月11日11时地面观测资料显示,

沙尘暴位于  $106 \sim 118$ °E、 $41 \sim 46$ °N(图 3 中曲线区域),与 TERRA(11:37)卫星监测的沙尘暴(图 2a)一致,表明卫星监测沙尘方法有效。



S表示沙尘暴,s表示扬沙 图 3 2011-05-11T11:37 红外多光谱合成图 叠加 11:00 地面观测资料

### 3 结论

针对沙尘、地表、云、下垫面在卫星 3 个红外通道(8.5  $\mu$ m、11  $\mu$ m、12  $\mu$ m)的散射吸收特点和差异,建立可日夜不间断监测沙尘的红外多光谱技术方法。其中, $T_{BD11-12}$  反映沙尘, $T_{BD8.5-11}$  反映沙尘强弱, $T_{11}$  反映目标物温度(高度),赋于 3 基色进行伽玛校正,生成反映沙尘有无、强弱、冰云、水云及地表的多光谱彩色合成图。

与常用可见光方法比较,该方法在反映云信息、云与沙尘相互作用区域、沙尘强弱与高度等方面可视效果更好,监测功能更强,对弱沙尘、

贺春江,蒙萌,黄肖寒,等.桂西北一次区域性冰雹天气过程分析[J].陕西气象,2014(3):4-7.

文章编号: 1006-4354 (2014) 03-0004-04

# 桂西北一次区域性冰雹天气过程分析

贺春江,蒙 萌,黄肖寒,王秋文 (河池市气象局,广西河池 547000)

摘 要:利用高空、地面资料,自动气象站资料和河池多普勒雷达资料,对 2013 年 3 月 23 日桂西北河池市区域性冰雹天气过程进行分析。结果表明:500 hPa 高原冷槽、850 hPa 切变线、地面弱冷锋是这次过程的影响系统;边界层辐合线为触发对流云提供了动力条件;冷云厚度是暖云厚度的 2 倍有利于冰雹天气的产生;适宜降雹的云顶亮温在一52 飞到一62 飞;当 VIL 值 $\geqslant$ 60 kg/m²时,强回波附近将有冰雹出现;反射率因子图上的弓形回波,钩状回波,弱回波区,旁瓣回波、三体散射,是发布冰雹预警的重要指标。

关键词:区域性冰雹;边界层辐合线;冷暖云厚度比;云顶亮温; VIL 值;河池市

中图分类号: P458.1

文献标识码: A

### 1 天气实况

2013年3月23日下午到夜间,桂西北河池市出现大范围强对流天气。天峨、南丹、金城江、环江、罗城、宜州、都安等七县市的31乡镇出现冰雹,其中宜州市北山乡出现直径60 mm的大冰雹,天峨、宜州、环江县还出现8级以上

大风,河池市的金城江区、宜州市和都安县出现 短时强降水。

## 2 强对流天气成因

2.1 环流背景分析

2013年3月23日08时强对流天气系统配置图(图1,图见第7页)显示,500 hPa 高空

收稿日期: 2014-03-05

作者简介: 贺春江(1971—), 女,广西河池人,学士,工程师,从事气象服务和短期预报工作。

沙地、与云互相作用区识别优势明显,实现日夜不间断连续监测,对研究沙尘发生、发展、演变具有现实意义。

#### 参考文献:

- [1] 石广玉,赵思雄.沙尘暴研究中的若干科学问题 [J].大气科学,2003,27(4):591-606.
- [2] 张鹏,张兴赢,胡秀清,等.2006年一次沙尘活动的卫星定量遥感和分析研究[J].气候与环境研究,2007,12(3):302-308.
- [3] Shenk W E, Curran R J. The detection of dust storms over land and water with satellite visible and visible and infrared measurements [J]. Mon Wea Rev, 1974, 102 (12): 830-837.

- [4] Ackerman S A. Using the radiative temperature difference at 3.7 and 11 to track dust outbreaks [J]. Remote Sens Environ, 1989, 27 (2): 129

  -133.
- [5] 郭铌, 蔡迪花, 韩兰英, 等. MODIS 沙尘暴判识方法与业务系统[J]. 气象, 2009, 35 (1): 102-108.
- [6] Zhang P, Lu N M, Hu X Q, et al. Identification and physical retrieval of dust storm using three MODIS thermal IR channels [J]. Global and Planetary Chance, 2006, 52 (4): 197-206.
- [7] Ackerman S A, Smith W L, Spinhirne J D, et al. The 27—28 October 1986 FIRE IFO cirrus case study: Spectral properties of cirrus clouds in the 8—12μm window [J]. Mon Wea Rev, 1990, 118 (11): 2377-2388.